

เซนเซอร์ที่เปลี่ยนสีได้จากอนุพันธ์ไนโตรคาร์บาโซลสำหรับตรวจวัดไอออนลบ COLORIMETRIC SENSOR FROM NITROCARBAZOLE DERIVATIVES FOR ANION DETERMINATION

อัญชลี สิริกุลขจร^{1*}, จิรเมธ คำชู¹, ทวีศักดิ์ กุลชาติชัย²
Anchalee Sirikulajom^{1}, Jiramet Kumchoo¹, Thaweesak Kunchadchai²*

¹ภาควิชาเคมี คณะวิทยาศาสตร์ มหาวิทยาลัยนเรศวร

¹Department of Chemistry, Faculty of Science, Naresuan University.

²โรงเรียนพิษณุโลกพิทยาคม จ.พิษณุโลก

²Phitsanulok Pittayakom School, Phitsanulok.

*Corresponding author, E-mail: anchaleesi@nu.ac.th

บทคัดย่อ

อนุพันธ์ของคาร์บาโซลสองชนิดคือ โมโนไนโตรคาร์บาโซล (**MNC**) และไดไนโตรคาร์บาโซล (**DNC**) ถูกนำมาศึกษาความสามารถในการเป็นเซนเซอร์ที่เปลี่ยนสีได้ (Colorimetric Sensor) สำหรับการตรวจวัดไอออนลบชนิดต่างๆ (CN^- , F^- , AcO^- , H_2PO_4^- , BzO^- , NO_3^- , HSO_4^- , Cl^- , ClO_4^- , Br^- และ I^-) ผลการศึกษาพบว่า เมื่อเติมไอออนลบที่มีความเป็นเบสสูง (CN^- , F^- , AcO^- , H_2PO_4^- , BzO^-) ลงในสารละลายของ **MNC** และ **DNC** ใน DMSO จะทำให้เกิดการเปลี่ยนสีจากสีเหลืองเป็นสีแดง เมื่อเปลี่ยนชนิดตัวทำละลายอินทรีย์ (DMSO, DMF, acetone, MeCN, DCM และ MeOH) พบว่าตัวทำละลายที่มีขั้วต่ำคือ DCM และตัวทำละลายที่มีขั้วสูงคือ MeOH จะทำให้เกิดความจำเพาะในการเปลี่ยนสีกับ CN^- ของเซนเซอร์ **MNC** และ **DNC** ตามลำดับ การเปลี่ยนแปลงสีของเซนเซอร์ทั้งสองชนิดเกิดจากการที่ไอออนลบดึงโปรตอนตำแหน่ง NH-คาร์บาโซล ทำให้เซนเซอร์อยู่ในรูป Deprotonated Form ซึ่งผลดังกล่าวสอดคล้องกับสเปกตรัมการดูดกลืนแสงของ **MNC** และ **DNC** ที่เกิด λ_{max} ใหม่ที่ประมาณ 500 nm ภายหลังจากเติมไอออนลบ ผลจากการศึกษาความเข้มข้นต่ำสุดของไอออนลบที่สามารถตรวจวัดได้ด้วยเทคนิคยูวี-วิสิเบิลของ **MNC** และ **DNC** ในระบบตัวทำละลาย DMSO พบว่า CN^- เป็นไอออนลบที่ให้ขีดจำกัดต่ำที่สุด โดยสามารถตรวจวัดได้ที่ความเข้มข้นเท่ากับ 3.0×10^{-5} M และ 2.0×10^{-6} M สำหรับ **MNC** และ **DNC** ตามลำดับ

คำสำคัญ: ไนโตรคาร์บาโซล เซนเซอร์สำหรับไอออนลบ เซนเซอร์ที่เปลี่ยนสีได้

Abstract

Two nitrocarbazole derivatives, mononitrocarbazole (**MNC**) and dinitrocarbazole (**DNC**), were investigated for their ability as a colorimetric sensor for anion recognition. Results from the study with eleven anions (CN^- , F^- , AcO^- , H_2PO_4^- , BzO^- , NO_3^- , HSO_4^- , Cl^- , ClO_4^- , Br^- and I^-) revealed that the color of **MNC** and **DNC** solution in DMSO was changed from pale yellow to red after adding strong base anions (CN^- , F^- , AcO^- , H_2PO_4^- , BzO^-).

A study of solvent media showed that the selectivity for CN^- detection was obtained when using DCM as a solvent for MNC and MeOH as a solvent for DNC. A deprotonation of NH – carbazole by anions to generate deprotonated form caused the color change and an appearance of a new λ_{max} at 500 nm in UV-Vis spectrum of the sensor. A determination of detection limit for anion sensing using UV-Vis was studied in DMSO and found that the lowest concentration was obtained from the detection of CN^- . **MNC** and **DNC** could detect CN^- at the detection limit of 3.0×10^{-5} M and 2.0×10^{-6} M, respectively.

Keywords: Nitrocarbazole, Anion Sensor, Colorimetric Sensor

บทนำ

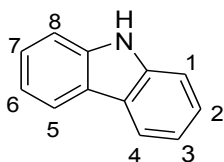
ปัจจุบันไอออนลบมีบทบาทสำคัญต่อชีวิตมนุษย์ทั้งทางด้านอุตสาหกรรม สิ่งแวดล้อม หรือกระบวนการทางชีววิทยา [1] ยกตัวอย่างเช่น ไซยาไนต์ (CN^-) เป็นไอออนลบที่พบแพร่หลายในกระบวนการทางอุตสาหกรรม เช่น การสกัดทอง [2] หรือการสังเคราะห์ พอลิเมอร์ และเรซิน [3] อย่างไรก็ตาม ไซยาไนต์นั้นมีความเป็นพิษต่อมนุษย์ เพราะมีผลต่อการยับยั้งการทำงานของระบบต่างๆ เช่น หลอดเลือด ประสาทส่วนกลาง การเต้นของหัวใจ ต่อมไทรอยด์และระบบการเผาผลาญ [4-5] มีรายงานว่าปริมาณไซยาไนต์ที่ทำให้คนเสียชีวิตคือ 0.5-3.5 mg ต่อ kg น้ำหนักร่างกาย [6] ฟลูออไรด์ (F^-) เป็นไอออนลบที่มีความสำคัญคือสามารถช่วยให้สุขภาพฟันแข็งแรงและรักษาโรคกระดูกพรุน [7] แต่ในทางกลับกันถ้าปริมาณฟลูออไรด์ที่มากเกินไปอาจนำไปสู่ภาวะซีมเคร้าและระบบภูมิคุ้มกันเสียหาย [8] นอกจากนี้ในทางเกษตรกรรมที่มีการใช้ปุ๋ยฟอสเฟต (PO_4^{3-}) ซึ่งอยู่ในรูปของสารประกอบอนินทรีย์ [9] ถ้าปุ๋ยเหล่านี้ถูกชะล้างสู่แหล่งน้ำในปริมาณมากจะทำให้เกิดการเจริญเติบโตอย่างรวดเร็วของพืชน้ำ เกิดปรากฏการณ์ยูโทรฟิเคชัน (Eutrophication) คือ การที่แหล่งน้ำสะสมธาตุอาหารที่กระตุ้นให้พืชบางประเภท เช่น สาหร่ายและวัชพืชน้ำเจริญมากกว่าปกติ ดังนั้นเมื่อพืชเหล่านี้ได้รับฟอสเฟตจะทำให้

มีพืชปกคลุมทั่วบริเวณผิวน้ำ ทำให้น้ำเน่าเสีย ออกซิเจนในน้ำมีน้อย แสงไม่สามารถส่องถึงใต้ผิวน้ำ ทำให้พืชบางชนิดเติบโตไม่ได้ ส่งผลกระทบต่อชุมชนริมน้ำและระบบนิเวศ ฉะนั้นจึงเห็นได้ว่าไอออนลบจึงมีทั้งผลดีและผลเสียต่อมนุษย์

การตรวจวัดไอออนลบจึงมีบทบาทสำคัญในการช่วยควบคุมปริมาณไอออนลบที่ปนเปื้อนลงสู่สิ่งแวดล้อม และวิธีการตรวจวัดที่น่าสนใจก็คือ การใช้โมเลกุลเซนเซอร์ที่สามารถเปลี่ยนสีได้ (Colorimetric Sensor) เทคนิคการตรวจวัดนี้ได้รับความนิยมเนื่องจากไม่จำเป็นต้องใช้เครื่องมือราคาแพงในการตรวจวัดแต่สามารถบอกถึงการมีไอออนลบได้โดยอาศัยการเปลี่ยนสีที่สังเกตเห็นด้วยตาเปล่าจากสารละลายเซนเซอร์เมื่อเกิดสารประกอบเชิงซ้อนกับไอออนลบ เทคนิคนี้สามารถตรวจวัดได้ทั้งแบบคุณภาพวิเคราะห์และปริมาณวิเคราะห์ ไม่เกิดการทำลายสารที่ใช้ตรวจวัด และใช้สารในปริมาณน้อย [10-13] งานวิจัยจำนวนมากได้รายงานเกี่ยวกับความสำเร็จในการใช้โมเลกุลเซนเซอร์ที่เปลี่ยนสีได้ในการตรวจวัดไอออนลบโดยใช้โมเลกุลต่างๆ เช่น ควิโนน [14] ไนโตรเฮโซเบนซีน [15] ไดไฮโอยูเรียไซโคลเฮกเซน [16] เบนซิมิดาโซล [17] อิมมิดาโซล-แอนทราควิโนน [18] ไฮดราโซน [19] และอนุพันธ์คาร์บาโซล [20-22] ในงานวิจัยนี้สนใจนำโมเลกุลคาร์บาโซลมาใช้เป็นโมเลกุลเซนเซอร์ที่เปลี่ยนสีได้ เนื่องจาก

โมเลกุลคาร์บาโซลมีความเสถียรทางเคมี สามารถแทนที่หมู่ฟังก์ชันต่างๆ บนโมเลกุลได้ง่าย อนุพันธ์ของคาร์บาโซลเป็นสารที่มีสีและให้สัญญาณฟลูออเรสเซนส์ที่ดี [23-25] จากงานวิจัยที่เกี่ยวข้องกับการใช้อนุพันธ์ของคาร์บาโซลมาเป็นเซนเซอร์นั้น พบว่าโมเลกุลเซนเซอร์จะประกอบด้วย 2 ส่วนหลัก คือ หน่วยจับไอออนลบ และหน่วยให้สัญญาณทางแสง หลักการทำงานคือเมื่อไอออนลบเข้าจับกับหน่วยจับจะทำให้เกิดการเปลี่ยนแปลงกับหน่วยให้สัญญาณทางแสง และเกิดการเปลี่ยนสีขึ้น การสังเคราะห์โมเลกุลเซนเซอร์เหล่านี้จะต้องใช้ขั้นตอนการสังเคราะห์

หลายขั้น และใช้เวลานาน ดังนั้นในงานวิจัยนี้เลือกใช้อนุพันธ์ไนโตรคาร์บาโซลมาเป็นเซนเซอร์ การสังเคราะห์ทำได้ง่ายมีขั้นตอนการสังเคราะห์ขั้นเดียว โดยเตรียมจากปฏิกิริยาการแทนที่หมู่ไนโตร (NO_2) เข้าไปบนวงเบนซีนของคาร์บาโซล (ภาพที่ 1) ที่ตำแหน่ง 3 และ 6 การเติมหมู่ไนโตรซึ่งเป็นหมู่ดึงอิเล็กตรอนจะทำให้ตำแหน่ง NH บนวงห้าเหลี่ยมของคาร์บาโซลมีความเป็นกรดเพิ่มขึ้นจึงสามารถถูกไอออนลบดึงหลุดออกได้ง่าย กลไกการเปลี่ยนสีของไนโตรคาร์บาโซลจะเกิดจากการที่ไนโตรคาร์บาโซลเปลี่ยนรูปไปเป็นโครงสร้างที่หลุดโปรตอน (Deprotonated Form)



ภาพที่ 1 โครงสร้างโมเลกุล 9H-carbazole

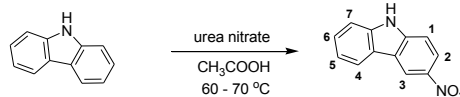
วัตถุประสงค์ของการวิจัย

1. สังเคราะห์ไนโตรคาร์บาโซล 3 ชนิด คือ 3-nitrocarbazole (**MNC**), 3,6-dinitrocarbazole (**DNC**) และ 9-butyl-3-nitrocarbazole (**BNC**)
2. ศึกษาการเปลี่ยนแปลงสีที่สังเกตเห็นได้ด้วยตาเปล่าของ **MNC** และ **DNC** เมื่อเติมไอออนลบชนิดต่างๆ
3. ศึกษาหาค่าขีดจำกัดต่ำสุดของ **MNC** และ **DNC** ในการตรวจวัดไอออนลบ

วิธีดำเนินการวิจัย

1. การสังเคราะห์ **MNC**, **DNC** และ **BNC**

โมเลกุลทั้งสามสังเคราะห์จากวิธีการสังเคราะห์ที่เคยมีรายงานไว้ [26-30] โดยมีรายละเอียดในการสังเคราะห์ดังนี้



ภาพที่ 2 รีเอเจนต์และสภาวะที่ใช้ในการสังเคราะห์ **MNC**

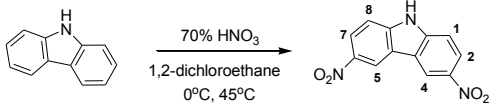
1.1 การสังเคราะห์ **MNC**

ละลายคาร์บาโซล 0.88 g (5.28 mmol) ในกรดอะซิติกปริมาตร 60 mL ใส่ลงในขวดก้นกลมขนาด 250 mL ปรับอุณหภูมิไปที่ $60-70^\circ\text{C}$ พร้อมคนจนได้สารละลายสีเหลือง จากนั้นเติม Urea Nitrate 0.65 กรัม (5.28 mmol) สารละลายจะเปลี่ยนเป็นสีดำหลังจากตั้งทิ้งไว้ 2 ชั่วโมง นำสารละลายออกมาตั้งให้เย็นที่อุณหภูมิห้องแล้วเติมน้ำกลั่น จะเกิดตะกอนสีเหลือง ตั้งทิ้งไว้ให้ตกตะกอน นำไปกรองแล้วล้างด้วยน้ำกลั่น ของแข็งสีเหลืองที่ได้นำไปทำให้บริสุทธิ์

ด้วยวิธีคอลัมน์โครมาโทกราฟีโดยใช้ตัวทำละลายผสม Hexane: EtOAc = 3:1 ($R_f = 0.33$) จะได้ของแข็งสีส้มของไนโตรคาร์บาโซล (**MNC**) (0.66 g, 61% yield, m.p. 214.5-216.8, m.p. from [30] 215.5-216.5)

^1H NMR spectrum (CDCl_3 , 400 MHz), $\delta = 7.35$ (1H, m, H_7), 7.46 (1H, d, $J = 8.8$ Hz, H_4), 7.52 (2H, m, $\text{H}_{5,6}$), 8.13 (1H, d, $J = 8.0$ Hz, H_1), 8.34 (1H, dd, $J = 9.0$, 2.0 Hz, H_2), 8.52 (1H, bs, NH), 9.00 (1H, d, $J = 2.0$ Hz, H_3)

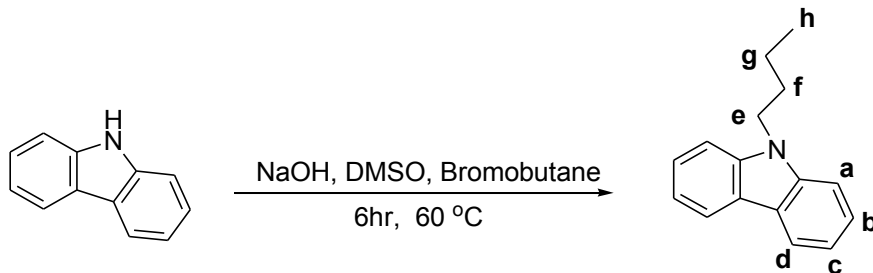
FT-IR spectrum (KBr, cm^{-1}) : 3034 (Aromatic C-H Stretching), 1604 (N-H Bending), 1501 (N-O Stretching), 1311 (C-N Stretching)



ภาพที่ 3 รีเอเจนต์และสภาวะที่ใช้ในการสังเคราะห์ DNC

1.2 การสังเคราะห์ DNC

ผสมคาร์บาโซล 0.201 g (1.2 mmol) และ 1,2-ไดคลอโรอีเทนลงในขวดก้นกลมขนาด 50 mL ปรับอุณหภูมิไปที่ 10°C



ภาพที่ 4 รีเอเจนต์และสภาวะที่ใช้ในการสังเคราะห์ N-บิวทิลคาร์บาโซล

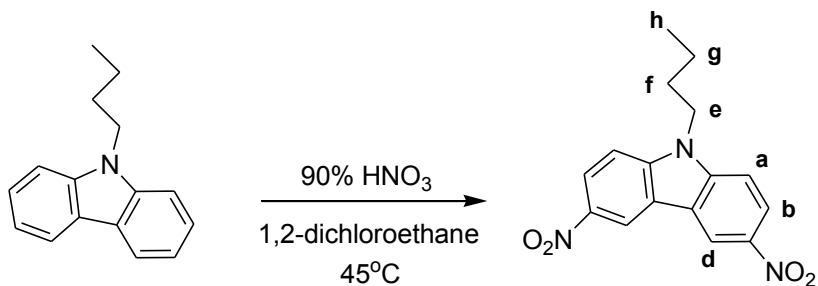
จากนั้นค่อยๆ หยดสารละลายผสมระหว่าง 70% กรดไนตริก (0.4 mL) กับกรดอะซิติก (0.4 mL) คนสารผสมที่อุณหภูมิห้องไปอีก 3 ชั่วโมง จากนั้นปรับมาที่อุณหภูมิห้องและทำการกรองสารผสม ส่วนของแข็งที่กรองได้นำไปละลายในสารละลาย 4M KOH และคนสารเป็นเวลา 1 ชั่วโมง เมื่อครบเวลาทำการปรับ pH ของสารผสมไปที่ pH 2.0 โดยใช้ 2M HCl ทำการกรองของแข็งสีเหลืองส้มที่เกิดขึ้น และนำไปทำให้บริสุทธิ์ด้วยวิธีคอลัมน์โครมาโทกราฟีโดยใช้ตัวทำละลายผสม Hexane: EtOAc = 2:1 ($R_f = 0.48$) จะได้ของแข็งสีเหลืองของไดไนโตรคาร์บาโซล (**DNC**) (0.09 g, 54% yield, m.p. 382, m.p. from [27] 386)

^1H NMR spectrum ($\text{DMSO}-d_6$, 400 MHz), $\delta = 7.76$ (2H, d, $J = 9.2$ Hz, $\text{H}_{1,8}$), 8.39 (2H, dd, $J = 9.0$, 2.0 Hz, $\text{H}_{2,7}$), 9.49 (2H, d, $J = 2.4$ Hz, $\text{H}_{4,5}$), 12.70 (1H, s, NH)

FT-IR spectrum (KBr, cm^{-1}) : 3095 (Aromatic C-H Stretching), 1604 (N-H Bending), 1520 (N-O Stretching), 1348 (C-N Stretching)

1.3 การสังเคราะห์ **BNC** ประกอบด้วย 2 ขั้นตอน

ผสมคาร์บาโซล 1.00 กรัม (0.006 mol) และ NaOH 0.26 g (0.0065 mol) ละลายใน DMSO จำนวน 20 mL บรรจุลงในขวดก้นกลม 2 คอ ขนาด 100 mL ปรับอุณหภูมิไปที่ 60 °C จากนั้นเติม 1-Bromobutane จำนวน 1.14 mL (0.065 mol) ทีละน้อยๆ คนสารละลายผสมที่อุณหภูมิเดิมเป็นเวลา 6 ชั่วโมง หลังจากนั้นทำการระเหยตัวทำละลายออก ของแข็งที่ได้นำไปทำสารให้บริสุทธิ์ด้วยวิธีคอลัมน์โครมาโทกราฟีโดยใช้ตัวทำละลายผสมระหว่าง Dichloromethane : Hexane เท่ากับ 7:3 ($R_f = 0.7$) จะได้ของแข็งสีขาวของ *N*-บิวทิลคาร์บาโซล (51.47% yield)



ภาพที่ 5 รีเอเจนต์และสภาวะที่ใช้ในการสังเคราะห์ **BNC**

N-บิวทิลคาร์บาโซล 0.669 g (0.003 mol) ผสมกับตัวทำละลาย 1,2-dichloroethane ปริมาตร 10 mL บรรจุลงในขวดก้นกลม 2 คอ ขนาด 100 mL คนสารผสมจนละลายและปรับอุณหภูมิไปที่ 10 °C หลังจากนั้นเติมสารละลายผสมของ 90% HNO_3 0.56 mL กับ 1,2-dichloroethane 0.56 mL ทีละหยดโดยใช้เวลาในการเติมไม่น้อยกว่า 1 ชั่วโมง เมื่อเติมกรดจนหมดปรับอุณหภูมิไปที่ 45 °C และตั้งสารผสมที่อุณหภูมินี้อีก 4 ชั่วโมง จากนั้นทำการกรองตะกอนสีเหลืองและล้างด้วยน้ำกลั่น 2-3 ครั้ง จะได้ของแข็งสีเหลืองของ **BNC** (63.85% yield, $R_f = 0.32$

^1H NMR spectrum (CDCl_3 , 400 MHz), $\delta = 0.96$ (3H, t, $J = 7.6$ Hz, H_n), 1.41 (2H, sextet, $J = 7.6$ Hz, H_g), 1.87 (2H, pentet, $J = 7.2$ Hz, H_f), 4.32 (2H, t, $J = 7.2$ Hz, H_e), 7.25 (2H, dd, $J = 7.6$, 2.8 Hz, H_c), 7.42 (2H, d, $J = 8.0$ Hz, H_a), 7.45 (2H, t, $J = 8.0$ Hz, H_b), 8.11 (2H, d, $J = 7.6$ Hz, H_d)

FT-IR spectrum (KBr, cm^{-1}) : 3042 (Aromatic C-H Stretching), 2927 (Aliphatic C-H Stretching), 1590 (C=C Stretching), 1450 (C-H Bending), 1324 (C-N Stretching)

ใน Dichloromethane : Hexane เท่ากับ 3:2, m.p. 301.1-302.3, m.p. from [27] 298)

^1H NMR spectrum ($\text{DMSO}-d_6$, 400 MHz), $\delta = 0.88$ (3H, t, $J = 7.2$ Hz, H_n), 1.31 (2H, sextet, $J = 7.6$ Hz, H_g), 1.79 (2H, pentet, $J = 7.2$ Hz, H_f), 4.58 (2H, t, $J = 7.2$ Hz, H_e), 7.96 (2H, d, $J = 9.2$ Hz, H_a), 8.44 (2H, dd, $J = 8.8$, 2.0 Hz, H_b), 9.52 (2H, d, $J = 2.4$ Hz, H_d)

FT-IR Spectrum (KBr, cm^{-1}) : 3091 (Aromatic C-H Stretching), 2956 (Aliphatic C-H Stretching), 1605 (C=C Stretching), 1450 (C-H Bending), 1324 (C-N

Stretching), 1514 (N-O Stretching), 1335 (C-N Stretching)

2. การศึกษาความเลือกจำเพาะในการตรวจวัดไอออนลบของ **BNC**, **MNC** และ **DNC**

2.1 สารเคมีและเครื่องมือที่ใช้ในการทดลอง

ไอออนลบที่ใช้อยู่ในรูปของเกลือเตตระบิวทิลแอมโมเนียม ตัวทำละลายที่ใช้เป็นชนิด AR Grade เครื่องยูวี-วิสิเบิลที่ใช้ในการศึกษาค่าขีดจำกัดต่ำสุดคือเครื่อง UV Single Beam รุ่น UNICAM 8625 UV/VIS Spectrometer ของบริษัท Bangkok High LAB Co., Ltd. ส่วนเครื่องยูวี-วิสิเบิลที่ใช้ในการศึกษาสเปกตรัมการดูดกลืนแสงคือเครื่อง UV Double Beam รุ่น Jasco V-650 Spectrophotometer ของบริษัท ANALYTICAL LAB SCIENCE CO., LTD. การศึกษาด้วยเทคนิค NMR ใช้เครื่อง NMR Spectrometer รุ่น Uthashield Advance 400 ของบริษัท Bruker

2.2 การเปลี่ยนแปลงสีที่สังเกตเห็นได้ด้วยตาเปล่าของ **BNC**, **MNC** และ **DNC** เมื่อเติมไอออนลบ

2.2.1 การหาระบบตัวทำละลายที่เหมาะสม

สารละลายของ **MNC** ที่ความเข้มข้น 1×10^{-3} M ในตัวทำละลายชนิดต่างๆ ดังนี้ Dimethylsulfoxide (DMSO), Dimethylformamide (DMF), Acetone, Acetonitrile (MeCN), Dichloromethane (DCM), Methanol (MeOH) และตัวทำละลายผสม DMSO:MeOH = 1:1 ถูกนำมาศึกษาความสามารถในการเปลี่ยนสีที่สังเกตเห็นด้วยตาเปล่ากับไอออนลบ 11 ชนิด คือ CN^- , F^- , AcO^- , H_2PO_4^- , BzO^- , NO_3^- , HSO_4^- , Cl^- , ClO_4^- , Br^- และ I^- โดยวิธีการศึกษาเริ่มต้นจากการบีบเปิดสารละลายของรีเซปเตอร์ **MNC** จำนวน 2 mL ใส่ลงในขวดไวแอล จากนั้นเติมไอออนลบในรูปของแข็ง (จำนวนเท่ากับ 2 equivalent ของสารละลาย **MNC**

ปริมาณ 2 mL) ลงไปจนจนละลาย เปรียบเทียบสีของสารละลายก่อนและหลังเติมไอออนลบ

****BNC และ DNC** ทำการทดลองเช่นเดียวกับ **MNC****

2.2.2 การหาค่าความเข้มข้นที่ต่ำที่สุดของไอออนลบที่สามารถสังเกตการเปลี่ยนแปลงสีในระบบตัวทำละลาย DMSO

ไอออนลบที่ใช้ในการศึกษาประกอบด้วย CN^- , F^- , AcO^- , H_2PO_4^- และ BzO^- การทดลองในหัวข้อนี้จะใช้สารละลาย **MNC** หรือ **DNC** ความเข้มข้น 2×10^{-3} M ปริมาตร 1 mL มาผสมกับสารละลายไอออนลบที่ความเข้มข้นต่างๆ (เริ่มต้นที่ความเข้มข้น 2×10^{-3} M จากนั้นลดความเข้มข้นลงไปเรื่อยๆ) ปริมาตร 1 mL เปรียบเทียบสีของสารละลายหลังเติมไอออนลบที่ความเข้มข้นต่างๆ

2.3 การหาค่าความเข้มข้นที่ต่ำที่สุดของไอออนลบที่สามารถตรวจวัดได้ด้วยเทคนิคยูวี-วิสิเบิลของ **MNC** และ **DNC**

ไอออนลบที่ใช้ในการศึกษาประกอบด้วย CN^- , F^- , AcO^- , H_2PO_4^- และ BzO^- ความเข้มข้นของสารละลาย **MNC** หรือ **DNC** เท่ากับ 2×10^{-3} M ในตัวทำละลาย DMSO ส่วนสารละลายไอออนลบเตรียมที่ความเข้มข้น 2×10^{-2} M, 2×10^{-3} M และ 2×10^{-4} M ทำการบีบเปิดสารละลาย **MNC** หรือ **DNC** ปริมาตร 1.00 mL ลงในขวดไวแอล และเติมสารละลายไอออนลบลงไปให้ได้ความเข้มข้นสุดท้ายหลังผสม ดังนี้ 5×10^{-4} , 1×10^{-4} , 9×10^{-5} , 8×10^{-5} , 7×10^{-5} , 6×10^{-5} , 5×10^{-5} , 4×10^{-5} , 3×10^{-5} , 2×10^{-5} , 1×10^{-5} , 9×10^{-6} , 8×10^{-6} , 7×10^{-6} , 6×10^{-6} , 5×10^{-6} , 4×10^{-6} , 3×10^{-6} , 2×10^{-6} , 1×10^{-6} M ปรับปริมาตรรวมให้เป็น 2.00 mL ด้วย DMSO จากนั้นนำแต่ละชุดการทดลองไปวัดค่าการดูดกลืนแสงที่ 500 nm เลือกความเข้มข้นต่ำที่สุดของไอออนลบที่ให้ค่าการดูดกลืนแสงที่ 500 nm สูงกว่าของเซนเซอร์เริ่มต้น และมีค่าไม่ต่ำกว่า 0.10

2.4 ศึกษาการเกิดอันตรกิริยาระหว่าง **DNC** กับไอออนลบ ด้วยเทคนิค $^1\text{H-NMR}$

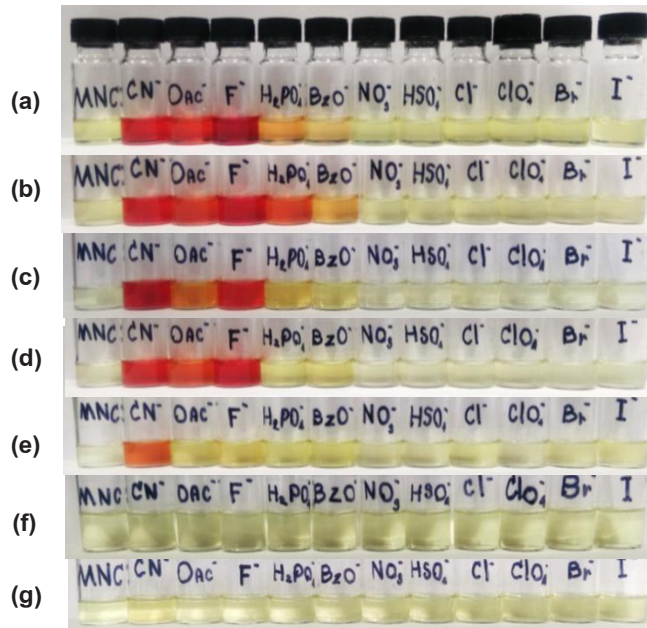
ไอออนลบที่ใช้ศึกษา คือ F^- วิธีการทดลองทำได้โดยเตรียมสารละลาย **DNC** ความเข้มข้น $5 \times 10^{-3} \text{ M}$ ใน $\text{DMSO}-d_6$ ปริมาตร 0.5 mL ลงในหลอด NMR และเติมไอออน F^- จำนวน 0.0032 กรัม (4 Equivalent) เขย่าจนละลายหมด นำสารที่เตรียมไปวัดด้วยเทคนิค $^1\text{H-NMR}$ โดยติดตามสัญญาณในช่วง 0 – 17 ppm

ผลการวิจัย

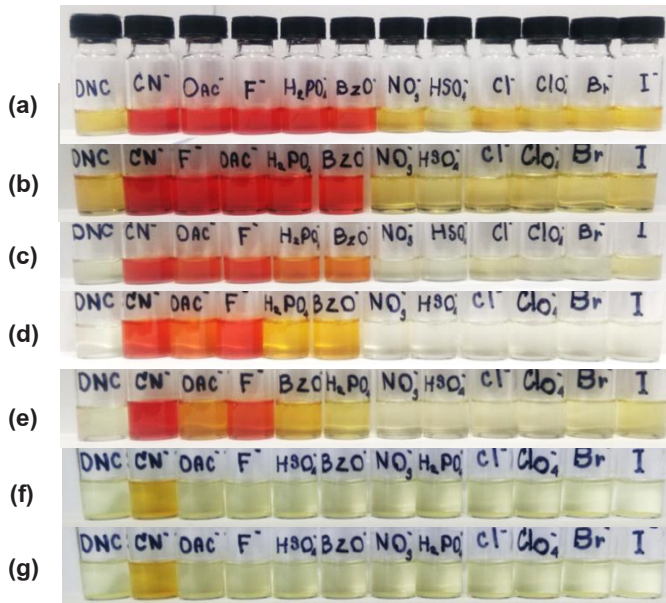
1. การเปลี่ยนแปลงสีที่สังเกตเห็นได้ด้วยตาเปล่าของ **BNC**, **MNC** และ **DNC** เมื่อเติมไอออนลบ

เมื่อเติมไอออนลบลงไปในสารละลาย **MNC** ที่ระบบตัวทำละลาย DMSO และ DMF พบว่ากลุ่มไอออนลบที่มีความเป็นเบสสูงคือ CN^- , F^- , AcO^- จะทำให้สารละลาย **MNC** เปลี่ยนสีจากสีเหลืองเป็นสีแดง (ภาพที่ 6a และ 6b) การเติมไอออนลบ H_2PO_4^- และ BzO^- พบการเปลี่ยนสีจากสีเหลืองเป็นสีส้ม ส่วนไอออนลบอื่นๆ ที่เหลือไม่พบการเปลี่ยนสี นอกจากนี้เมื่อศึกษาผลของตัวทำละลายโดยทำการเปลี่ยนไปใช้ตัวทำละลายที่มีขั้วลดลง คือ Acetone, MeCN และ DCM พบว่าเมื่อลดขั้วตัวทำละลายลงจะทำให้การเปลี่ยนสีเกิดน้อยลงโดยเฉพาะกับไอออนลบ H_2PO_4^- และ BzO^- (ภาพที่ 6c และ 6d) ผลของการทดลองที่น่าสนใจคือ ระบบตัวทำละลาย DCM มีเฉพาะ CN^- เท่านั้นที่ทำให้เกิดการเปลี่ยนสีของ **MNC** จากสีเหลืองอ่อนเป็นสีส้ม (ภาพที่ 6e) ผลดังกล่าวแสดงให้เห็นว่า DCM เป็นตัวทำละลายที่เหมาะสมต่อการตรวจวัด CN^- งานวิจัยนี้ยังมีการใช้ตัวทำละลายกลุ่ม Protic Solvent นั่นคือ MeOH พบว่าการมี MeOH อยู่ในระบบจะไม่พบการเปลี่ยนสีของ **MNC** (ภาพที่ 6f และ 6g) ในกรณีของ **DNC** ซึ่งมีหมู่ไนโตร 2 หมู่

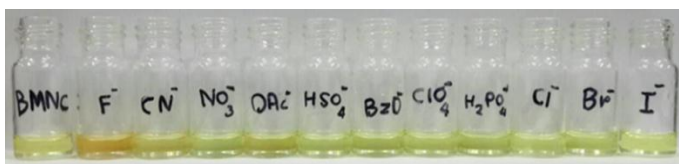
บนโมเลกุลทำให้ที่ตำแหน่ง NH – คาร์บาโซล มีความเป็นกรดมากกว่า **MNC** เนื่องจากในโมเลกุลมีหมู่ดึงอิเล็กตรอนมากกว่า การเปลี่ยนสีของ **DNC** พบว่าให้ผลการทดลองคล้ายคลึงกับ **MNC** แต่การเปลี่ยนสีจะเกิดขึ้นชัดเจนกว่า นั่นคือเกิดการเปลี่ยนเป็นสีแดงเข้มกับไอออนลบ 5 ชนิด คือ CN^- , F^- , AcO^- , H_2PO_4^- และ BzO^- (ภาพที่ 7a และ 7b) ผลการศึกษาการลดขั้วของตัวทำละลายพบว่าจะทำให้การเปลี่ยนสีเกิดลดลงโดยเฉพาะกับกรณีการเติม AcO^- , H_2PO_4^- และ BzO^- (ภาพที่ 7c – 7e) ระบบตัวทำละลายที่เหมาะสมโดยเกิดการเปลี่ยนสีเฉพาะกับ CN^- คือ MeOH หรือตัวทำละลายผสม $\text{DMSO}:\text{MeOH}$ (1:1) โดยเกิดการเปลี่ยนสีจากสีเหลืองอ่อนเป็นสีเหลืองเข้ม (ภาพที่ 7f และ 7g) แต่ในกรณีของ **BNC** พบว่าไม่เกิดการเปลี่ยนสีของสารละลายเมื่อเติมไอออนลบชนิดต่างๆ ยกเว้นการเติม F^- เกิดการเปลี่ยนสีเป็นสีส้มอ่อน (ภาพที่ 8)



ภาพที่ 6 การเปลี่ยนแปลงสีของ **MNC** กับไอออนลบชนิดต่างๆ ในระบบตัวทำละลาย (a) DMSO (b) DMF (c) Acetone (d) MeCN (e) DCM (f) MeOH (g) DMSO:MeOH (1:1)



ภาพที่ 7 การเปลี่ยนแปลงสีของ **DNC** กับไอออนลบชนิดต่างๆ ในระบบตัวทำละลาย (a) DMSO (b) DMF (c) Acetone (d) MeCN (e) DCM (f) MeOH (g) DMSO:MeOH (1:1)

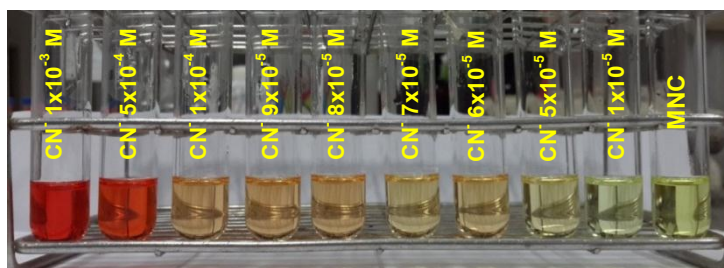


ภาพที่ 8 การเปลี่ยนแปลงสีของ **BNC** กับไอออนลบชนิดต่างๆ ในระบบตัวทำละลาย DMSO

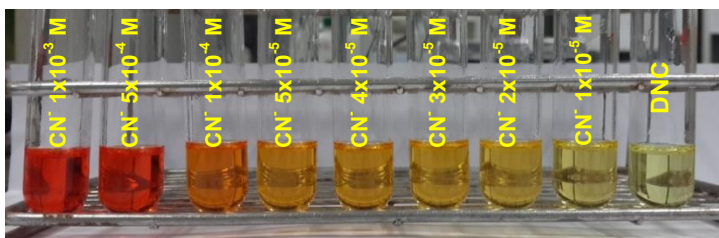
2. การหาค่าความเข้มข้นที่ต่ำที่สุดของ ไอออนลบที่สามารถตรวจวัดได้ด้วยการสังเกตสี ด้วยตาเปล่า และเทคนิคยูวี-วิสิเบิลของ **MNC** และ **DNC** ในระบบตัวทำละลาย **DMSO**

จากการศึกษาระบบตัวทำละลายที่มีผลต่อการ เปลี่ยนสีของ **MNC** และ **DNC** เมื่อเติมไอออนลบ พบว่าระบบที่เหมาะสมที่สุดคือ DMSO และ DMF เนื่องจากทั้ง **MNC** และ **DNC** สามารถละลายได้ดี ที่สุด และสังเกตเห็นการเปลี่ยนสีได้ง่ายและชัดเจน แต่การทดลองเพื่อหาค่าเข้มข้นต่ำสุดของไอออนลบที่ตรวจวัดได้จะเลือกใช้ DMSO เป็นตัวทำละลาย เนื่องจากเป็นตัวทำละลายเดียวกันกับที่ใช้ศึกษา ในเทคนิค $^1\text{H-NMR}$ โดยจะทำการศึกษากับ

ไอออนลบ 5 ชนิดคือ CN^- , F^- , AcO^- , H_2PO_4^- , และ BzO^- ซึ่งเป็นไอออนลบที่ทำให้เกิดการเปลี่ยนสี จากเหลืองอ่อนเป็นแดงในระบบ DMSO จากการสังเกตการเปลี่ยนสีด้วยตาเปล่าเมื่อเติม ไอออนลบที่ความเข้มข้นต่างๆ ลงไปในสารละลาย ของ **MNC** และ **DNC** โดยเลือกความเข้มข้นต่ำที่สุด ของไอออนลบที่ยังสามารถเห็นการเปลี่ยนสีด้วย ตาเปล่าเมื่อเทียบกับสีของสารละลายเริ่มต้นจาก **MNC** และ **DNC** ได้ผลของความเข้มข้นต่ำที่สุด ของไอออนลบดังตารางที่ 1 และตัวอย่างภาพ การเปรียบเทียบสีที่เปลี่ยนแปลงไปของสารละลาย **MNC** และ **DNC** หลังเติม CN^- ที่ต่างความเข้มข้น แสดงดังภาพที่ 9 และ 10 ตามลำดับ



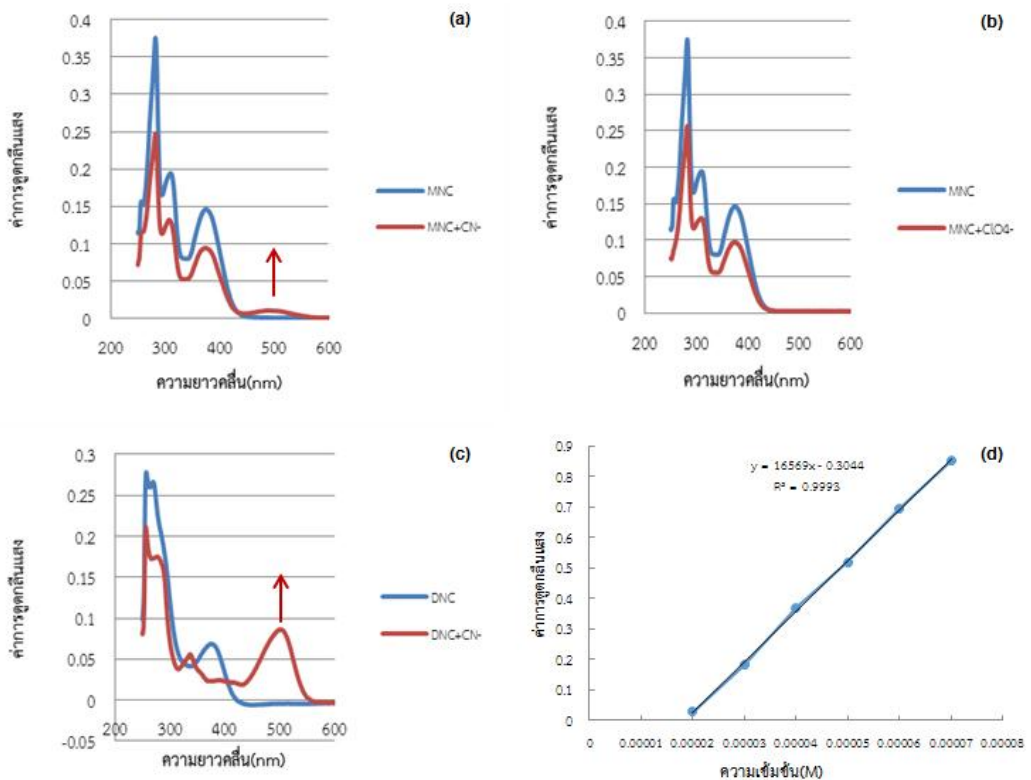
ภาพที่ 9 การเปลี่ยนแปลงสีของสารละลาย **MNC** ความเข้มข้น 1×10^{-3} M ใน DMSO เมื่อเติม CN^- ที่ความเข้มข้นต่างๆ



ภาพที่ 10 การเปลี่ยนแปลงสีของสารละลาย **DNC** ความเข้มข้น 1×10^{-3} M ใน DMSO เมื่อเติม CN^- ที่ความเข้มข้นต่างๆ

จากการศึกษาสเปกตรัมการดูดกลืนแสงของ **MNC** ในตัวทำละลาย DMSO พบว่า **MNC** จะให้ค่าการดูดกลืนแสงสูงสุดที่ 3 ความยาวคลื่น คือ $\lambda_{\max} = 282.5, 314, 385.5$ nm การเติม ไอออนลบ (CN^- , F^- , AcO^- , H_2PO_4^- และ BzO^-) จำนวนมากเกินพอ (100 Equivalents) ลงไป พบว่าค่าการดูดกลืนแสงของทั้ง 3 ความยาวคลื่น จะลดลง และมีการปรากฏของความยาวคลื่นใหม่ที่ λ_{\max} ประมาณ 500 nm (ภาพที่ 11a) ซึ่งเป็นค่าความยาวคลื่นที่สอดคล้องกับการเกิดสี แดงของสารละลาย **MNC** หลังการเติมไอออนลบ ผลดังกล่าวไม่พบในไอออนลบอื่นๆ ที่ไม่ทำให้เกิดการเปลี่ยนแปลงสีของ **MNC** (ภาพที่ 11b) ส่วนกรณีของ **DNC** พบว่าจะให้ผลการทดลอง เช่นเดียวกับ **MNC** โดยค่าการดูดกลืนแสงเริ่มต้นจะ

ปรากฏที่ $\lambda_{\max} = 257, 270, 384$ nm เมื่อเติม ไอออนลบ (CN^- , F^- , AcO^- , H_2PO_4^- และ BzO^-) จะพบการปรากฏค่าการดูดกลืนใหม่ที่ λ_{\max} ประมาณ 500 nm (ภาพที่ 11c) แต่จะมีค่า การดูดกลืนแสงที่มากกว่าของ **MNC** การหาความ เข้มข้นต่ำที่สุดที่สามารถตรวจวัดได้ด้วยเทคนิค ยูวี-วิสิเบิลจะทำการติดตามค่าการดูดกลืนแสง ที่ 500 nm เมื่อทำการเติมไอออนลบที่ความ เข้มข้นต่างๆ โดยจะได้กราฟช่วงที่เป็นเส้นตรง ซึ่งพล็อตระหว่างค่าความเข้มข้นไอออนลบกับค่า การดูดกลืนแสงดังภาพที่ 11d ความเข้มข้น ต่ำที่สุดของไอออนลบที่ให้ค่าการดูดกลืนแสง ที่ 500 nm สูงกว่าของเซนเซอร์เริ่มต้น และมีค่าไม่ต่ำกว่า 0.10 คือค่าขีดจำกัดต่ำสุด แสดงดังตารางที่ 1



ภาพที่ 11 สเปกตรัมการดูดกลืนแสงที่เปลี่ยนแปลงไปของสารละลายความเข้มข้น 1×10^{-5} M (a) **MNC**+ CN^- (b) **MNC**+ ClO_4^- (c) **DNC**+ CN^- ใน DMSO ปริมาณไอออนลบที่เติม คือ 100 Equivalent และ (d) กราฟช่วงความเป็นเส้นตรงจากการศึกษาขีดจำกัดต่ำสุด จากระบบ **MNC**+ CN^-

ตารางที่ 1 ค่าความเข้มข้นต่ำสุดของไอออนลบที่สามารถตรวจวัดได้จากการสังเกตด้วยตาเปล่า และเทคนิคยูวี-วิสิเบิล

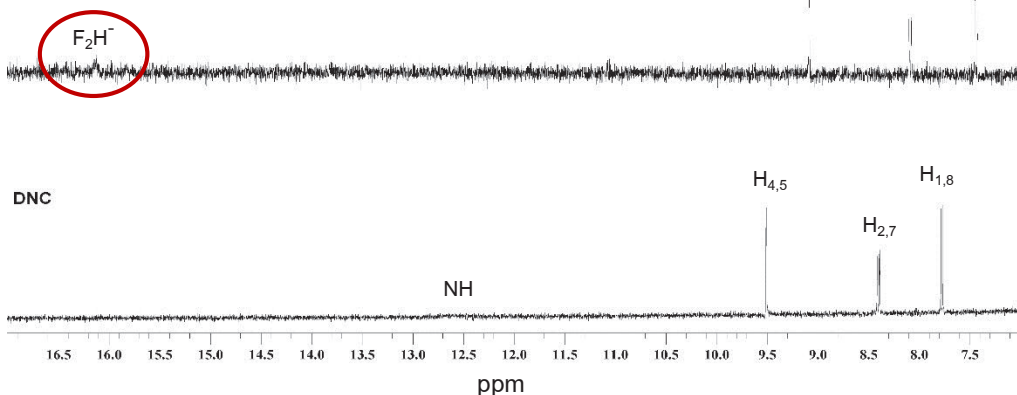
ไอออนลบ	ความเข้มข้นไอออนลบต่ำสุดจากการสังเกตด้วยตาเปล่า (Molar)		ความเข้มข้นไอออนลบต่ำสุดจากเทคนิคยูวี-วิสิเบิล (Molar)	
	MNC	DNC	MNC	DNC
CN ⁻	5.0x10 ⁻⁵	1.0x10 ⁻⁵	3.0x10 ⁻⁵	2.0x10 ⁻⁶
F ⁻	6.0x10 ⁻⁵	2.0x10 ⁻⁵	3.0x10 ⁻⁵	1.0x10 ⁻⁵
AcO ⁻	5.0x10 ⁻⁵	2.0x10 ⁻⁵	1.0x10 ⁻⁴	6.0x10 ⁻⁶
H ₂ PO ₄ ⁻	1.0x10 ⁻⁴	3.0x10 ⁻⁵	2.0x10 ⁻³	1.0x10 ⁻⁵
BzO ⁻	5.0x10 ⁻⁴	2.0x10 ⁻⁵	5.0x10 ⁻³	8.0x10 ⁻⁶

3. ศึกษาการเกิดอันตรกิริยาระหว่าง DNC กับไอออนลบ ด้วยเทคนิค ¹H-NMR

เทคนิค ¹H-NMR ถูกนำมาใช้ในการศึกษาอันตรกิริยาระหว่าง DNC กับไอออนลบ F⁻ โดยทำการติดตามสเปกตรัม NMR ที่เปลี่ยนแปลงไปของ DNC ภายหลังจากเติม F⁻ (ภาพที่ 12) ผลที่ได้พบว่าการเติม F⁻ มากเกินพอทำให้เกิดการหายไปของสัญญาณ NH-โปรตอนที่ตั้งาแหน่ง

ประมาณ 12.5 ppm และพบการเลื่อนสัญญาณโปรตอนของวงอะโรมาติกไปทาง upfield (Chemical Shift ที่ต่ำลง) นอกจากนี้มีการปรากฏของสัญญาณโปรตอนที่ตั้งาแหน่งประมาณ 16 ppm ซึ่งเป็นสัญญาณของ F₂H⁻ [31-34] ผลที่ได้ดังกล่าวแสดงถึงการที่ F⁻ เข้าไปตั้งโปรตอนออกมาจากโมเลกุลเซนเซอร์และทำให้เกิดไอออนลบ F₂H⁻

DNC+4.0eq F⁻



ภาพที่ 12 การเปรียบเทียบ NMR สเปกตรัมของ DNC และ DNC+F⁻ ในตัวทำละลาย DMSO-d₆

สรุปและอภิปรายผล

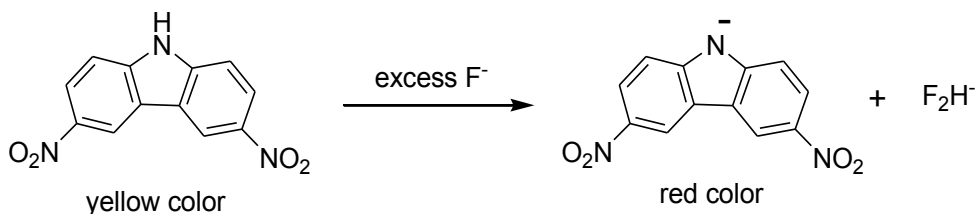
จากผลการศึกษาด้วยเทคนิค $^1\text{H-NMR}$ อธิบายได้ว่าการเติมไอออนลบ F^- ซึ่งเป็นไอออนลบที่มีความเป็นเบสสูงลงไปในการละลายของ **DNC** จะทำให้เกิดกลไกการหลุดโปรตอน (Deprotonation) ที่ตำแหน่ง NH - คาร์บาโซล แสดงดังภาพที่ 13 ผลึกภัณฑ์ที่เกิดขึ้นภายหลังการหลุดโปรตอนของ **DNC** (Deprotonated Form) จะเกิดการเปลี่ยนสีจากเหลืองไปเป็นแดง และจากผลการสังเกตการเปลี่ยนสีด้วยตาเปล่าพบว่า จะมีเฉพาะการเติมไอออนลบที่มีความเป็นเบสสูงเท่านั้นจึงจะทำให้เกิดการเปลี่ยนสีของ **MNC** และ **DNC** โดยการเปลี่ยนสีจะมีความเข้มมากขึ้นเมื่อเติมไอออนลบที่มีความเป็นเบสที่มากกว่า เมื่อพิจารณาลำดับความแรงของความเป็นเบสของไอออนลบจากค่า pK_a ในตัวทำละลาย DMSO มีลำดับดังนี้ $\text{F}^- > \text{CN}^- > \text{AcO}^- > \text{BzO}^- > \text{H}_2\text{PO}_4^- > \text{Cl}^- > \text{Br}^-$ [35] ดังนั้น CN^- , F^- , AcO^- , H_2PO_4^- , และ BzO^- จึงเป็นกลุ่มไอออนลบที่ทำให้เกิดการเปลี่ยนสีของ **MNC** โดยไอออนลบที่มีความเป็นเบสที่มากกว่า (CN^- , F^- และ AcO^-) จะสามารถดึงโปรตอนได้ดีกว่า การเปลี่ยนสีจึงเกิดมากกว่า มีงานวิจัยจำนวนมากที่เคยรายงานเกี่ยวกับโมเลกุลเซนเซอร์ที่เปลี่ยนสีได้โดยอาศัยกลไกการเข้าไปดึงโปรตอนบนโมเลกุลเซนเซอร์โดยไอออนลบ [15-16, 21, 36] นอกจากนี้เมื่อทำเปลี่ยนขั้วของตัวทำละลายพบว่าทำให้เกิดความเลือกจำเพาะต่อการตรวจวัดไอออนลบที่แตกต่างกันของเซนเซอร์ทั้งสองโดย **MNC** จะเกิดความเลือกจำเพาะต่อ CN^- เมื่อใช้ตัวทำละลายที่มีขั้วต่ำ ส่วน **DNC** จะเกิดความเลือกจำเพาะต่อ CN^- เมื่อใช้ตัวทำละลายชนิด Protic Solvent ผลดังกล่าวอธิบายได้ว่าการลดขั้วของตัวทำละลายจะทำให้การเปลี่ยนสีลดลง เนื่องจากเมื่อ NH-คาร์บาโซลเกิดการหลุดโปรตอนจะทำให้เกิดสปีชีส์ที่มีประจุลบขึ้นที่ N-คาร์บาโซล การใช้ตัวทำละลายที่มีขั้วต่ำจะไม่สนับสนุนให้เกิดผลิตภัณฑ์ที่มีประจุ

ทำให้ขบวนการหลุดโปรตอนจึงเกิดยากขึ้น ดังนั้นในกรณีของ **MNC** ในตัวทำละลาย DCM จะมีเฉพาะไอออนลบ CN^- เท่านั้นที่เข้าไปดึงโปรตอนได้ ส่วนการใช้ตัวทำละลาย MeOH ซึ่งเป็นตัวทำละลายกลุ่ม Protic Solvent นั้นจะไปขัดขวางการหลุดโปรตอนที่ NH-คาร์บาโซล เนื่องจาก MeOH เป็นตัวทำละลายที่สามารถให้โปรตอนได้ ดังนั้นเมื่อมี MeOH ในระบบ ไอออนลบจึงเข้าไปรับโปรตอนจาก MeOH แทนที่จะเข้าไปดึงโปรตอนที่โมเลกุล **MNC** แต่ในกรณีของ **DNC** ที่พบว่าสามารถเกิดการเปลี่ยนสีได้เมื่อเติม CN^- ในระบบตัวทำละลาย MeOH อาจเนื่องมาจากการที่หมู่ NH-คาร์บาโซลของ **DNC** มีความเป็นกรดที่สูงกว่า **MNC** จึงสามารถแข่งขันกับตัวทำละลาย MeOH ในการให้โปรตอนแก่ไอออนลบได้ จึงสังเกตเห็นการเปลี่ยนสี ส่วนโมเลกุล **BNC** ที่มีการแทนที่หมู่ NH ด้วย N-Butyl จะทำให้ไอออนลบไม่สามารถเข้ามาดึงโปรตอนที่ NH-คาร์บาโซลได้เหมือน **MNC** และ **DNC** ดังนั้นกลไกการเปลี่ยนสีจึงไม่เกิดขึ้น

ผลการทดลองที่ช่วยสนับสนุนกลไกการหลุดโปรตอนของเซนเซอร์โดยไอออนลบคือ ผลจากเทคนิคยูวี-วิสิเบิลที่พบการเกิด λ_{max} ใหม่ที่ความยาวคลื่นประมาณ 500 nm ซึ่งน่าจะเป็นค่าการดูดกลืนของสปีชีส์ใหม่ที่เกิดขึ้นของ **MNC** และ **DNC** นั่นคือสปีชีส์ที่อยู่ในรูป Deprotonated Form นอกจากนี้กรณีของ **DNC** พบว่ามีค่าการดูดกลืนแสงที่มากกว่าของ **MNC** แสดงว่าสปีชีส์ Deprotonated form ของ **DNC** เกิดขึ้นได้ดีกว่า ซึ่งสอดคล้องกับการที่ **DNC** เป็นโมเลกุลที่ตำแหน่ง NH - คาร์บาโซล มีความเป็นกรดสูงกว่าจึงถูกไอออนลบดึงโปรตอนได้ง่ายกว่า นอกจากนี้ผลการทดลองจากตารางที่ 1 พบว่า **DNC** จะให้ค่าขีดจำกัดต่ำสุดต่อการตรวจวัดไอออนลบที่ต่ำกว่า **MNC** ทั้งจากเทคนิคการสังเกตสีด้วยตาเปล่าและยูวี-วิสิเบิล ไอออนลบ CN^- จะให้ค่าขีดจำกัดต่ำที่สุดทั้งในระบบ **DNC**

และ **MNC** โดยค่าขีดจำกัดต่ำที่สุดสำหรับการตรวจวัด CN^- ได้จากการใช้ **DNC** ซึ่งมีค่าขีดจำกัดต่ำสุดเท่ากับ 2.0×10^{-6} M ส่วนผลจากเทคนิคสังเกตการเปลี่ยนสีด้วยตาเปล่าพบว่าความเข้มข้นต่ำสุดที่ยังสามารถสังเกตเห็นการเปลี่ยนสีของ **MNC** พบในชุดการทดลองที่เติมไอออนลบ 3 ชนิดคือ CN^- , F^- และ AcO^- ส่วนกรณีของ **DNC** ไม่พบความแตกต่างของค่าความเข้มข้นต่ำสุดของไอออนลบทั้ง 5 ชนิด (CN^- , F^- ,

AcO^- , H_2PO_4^- และ BzO^-) อธิบายได้จาก **DNC** เป็นโมเลกุลที่มีหมู่ NH -คาร์บาโซลที่มีความเป็นกรดมากกว่า **MNC** ดังนั้นไอออนลบที่มีความเป็นเบสสูงทั้ง 5 ชนิดจึงสามารถเข้าไปตั้งโปรตอนที่ NH -คาร์บาโซลได้ไม่แตกต่างกัน แต่สำหรับ **MNC** จะมีเฉพาะไอออนลบที่มีความเป็นเบสสูงที่สุดเท่านั้น นั่นคือ F^- , CN^- และ AcO^- จึงจะเข้าไปตั้งโปรตอนได้อย่างรวดเร็วและทำให้เกิดการเปลี่ยนสี



ภาพที่ 13 การนำเสนอกลไกการหลุดโปรตอนตำแหน่ง NH -คาร์บาโซลของ **DNC** โดยไอออนลบ F^-

ผลการทดลองทั้งหมดสรุปได้ว่า โมเลกุล **MNC**, **DNC** และ **BNC** ถูกสังเคราะห์ขึ้นและนำมาศึกษาความสามารถในการเป็นเซนเซอร์สำหรับตรวจวัดไอออนลบ ผลการศึกษาพบว่ามีเฉพาะ **MNC** และ **DNC** ที่สามารถเกิดการเปลี่ยนสีเมื่อเติมไอออนลบ โดยการเปลี่ยนสีของเซนเซอร์ทั้งสองเกิดขึ้นเฉพาะกับไอออนลบที่มีความเป็นเบสสูง คือ CN^- , F^- , AcO^- , H_2PO_4^- และ BzO^- การเปลี่ยนสีเกิดผ่านขบวนการหลุดของโปรตอนที่ NH -คาร์บาโซล การเปลี่ยนระบบตัวทำละลายทำให้ **MNC** และ **DNC** มีความจำเพาะต่อการตรวจวัดไอออน CN^- ในระบบตัวทำละลาย DCM

และ $\text{DMSO}:\text{MeOH}$ (1:1 โดยปริมาตร) ตามลำดับ ผลการศึกษาหาความเข้มข้นต่ำสุดของไอออนลบที่สามารถตรวจวัดได้ด้วยการสังเกตสีด้วยตาเปล่าและเทคนิคยูวี-วิสิเบิลในระบบตัวทำละลาย DMSO พบว่าไอออนลบ CN^- จะให้ค่าขีดจำกัดต่ำที่สุด โดย **DNC** จะให้ค่าขีดจำกัดต่ำสุดในการตรวจวัด CN^- ที่ดีกว่า **MNC**

กิตติกรรมประกาศ

งานวิจัยนี้ได้รับทุนสนับสนุนการวิจัยจาก สกว. (MRG5580242) และทุนสนับสนุนการวิจัยสำหรับบัณฑิต พสวท. แรกบรรจุ (018/2557)

เอกสารอ้างอิง

- [1] Zhou, Y., Zhang, J. F.; and Yoon, J. (2014, March). Fluorescence and Colorimetric Chemosensors for Fluoride-Ion Detection. *Chemical Reviews*. 114(10): 5511-5571.
- [2] Miller, G. C., Pritsos, C. A. (2001, February). Unresolved Problems with the Use of Cyanide in Open Pit Precious Metals Mining. *Cyanide: Social, Industrial and Economic Aspects, Proceedings of a Symposium held at Annual Meeting of TMS*. 73-81.

- [3] Boening, D. W.; and Chew, C. M. (1999, January). A Critical Review: General Toxicity and Environmental Fate of Three Aqueous Cyanide Ions and Associated Ligands. *Water, Air, & Soil Pollution*. 109(1-4): 67-79.
- [4] Peter, B. N., James, R. A., Lyddiard, K. P. W.; and Christopher, P. (2011, March). Brain Glutathione as a Target for Aetiological factors in Neurolathyrism and Konzo. *Food and Chemical Toxicology*. 49(3): 662-667.
- [5] Sónia, C. C., Renato, X. S., Sandra, M. C., Maria, S. S., Catarina R. O.; and Paula, I. M. (2012, January). Cyanide Preconditioning Protects Brain Endothelial and NT2 Neuron-Like Cells Against Glucotoxicity: Role of Mitochondrial Reactive Oxygen Species and HIF-1 α . *Neurobiology of Disease*. 45(1): 206-218.
- [6] Muir, G. D. (1977). *Hazards in the Chemical Laboratory*. The Royal Chemical Society: London.
- [7] Ke, B., Chen, W., Ni, N., Cheng, Y., Dai, C., Dinh, H.; and Wang, B. (2013, March). A Fluorescent Probe for Rapid Aqueous Fluoride Detection and Cell Imaging. *Chemical Communication (Camb)*. 49(25): 2494-2496.
- [8] Kumar, S., Saini, R.; and Kaur, D. (2011, December). 2-(*p*-Nitrophenylthioureido)-3-aminonaphtho-1,4-quinone as a Water Tolerant. *Sensor and Actuator B: Chemical*. 160(1): 705-712.
- [9] Schluepmann, H., Berke, L.; and Sanchez-Perez, G. F. (2011, November). Metabolism Control over Growth: A Case for Trehalose-6-phosphate in Plants. *Journal of Experimental Botany*. 63(9): 3379-3390.
- [10] Lohr, H. G., Vogtle, F. (1985, March). Chromo- and Fluoroionophores. A New Class of Dye Reagents. *Accounts of Chemical Research*. 18(3): 65-72.
- [11] Bissell, R. A., de Silva, A. P., Gunaratne, H. Q. N., Lynch, P. L. M., Maguire, G. E. M.; and Sandanayake, K. R. A. S. (1992). Molecular Fluorescent Signalling with 'Fluor-Spacer-Receptor' Systems: Approaches to Sensing and Switching devices *via* Supramolecular Photophysics. *Chemical Society Reviews*. 21: 187-195.
- [12] Schmidtchen, F. P.; and Berger, M. (1997, August). Artificial Organic Host Molecules for Anions. *Chemical Reviews*. 97(5): 1609-1646.
- [13] Beer, P. D.; and Gale, P. A. (2001, February). Anion Recognition and Sensing: The State of the Art and Future Perspectives. *Angewandte Chemie International Edition*. 40(3): 486-516.
- [14] Anzenbacher, P., Palacios, M. A., Kursikova, J.; and Marquez, M. (2005, August). Simple Electrooptical Sensors for Inorganic Anions. *Organic Letters*. 7(22): 5027-5030.
- [15] Niu, H.-T., Jiang, X., He, J.; and Cheng, J.-P. (2008, September). A highly Selective and Synthetically Facile Aqueous-Phase Cyanide Probe. *Tetrahedron Letters*. 49: 6521-6524.

- [16] Odago, M. O., Colabello, D. M.; and Lees, A. J. (2010, July). A Simple Thiourea Based Colorimetric Sensor for Cyanide Anion. *Tetrahedron*. 66: 7465-7471.
- [17] Moon, K. S., Singh, N., Lee, G. W.; and Jang, D. O. (2007, July). Colorimetric Anion Chemosensor Based on 2-Aminobenzimidazole: Naked-eye Detection of Biologically Important Anions. *Tetrahedron*. 63: 9106-9111.
- [18] Batista, R. M. F., Costa, S. P. G.; and Raposo, M. M. M. (2014, October). Selective Colorimetric and Fluorimetric Detection of Cyanide in Aqueous Solution Using Novel Heterocyclic Imidazo-Anthraquinones. *Sensors and Actuators B: Chemical*. 191: 791-799.
- [19] Gupta, V. K., Singh, A. K.; and Gupta, N. (2014, August). Colorimetric Sensor for Cyanide and Acetate Ion using Novel Biologically Active Hydrazones. *Sensors and Actuators B: Chemical*. 204: 125-135.
- [20] Thangadurai, T. D., Singh, N. J., Hwang, I.-C., Lee, J. W., Chandran, R. P.; and Kim, K. S. (2007, April). 2-Dimensional Analytical Approach for Anion Differentiation with Chromofluorogenic Receptors. *Journal of Organic Chemistry*. 72: 5461-5464.
- [21] Shang, X., Li, X., Han, J., Jia, S., Zhang, J.; and Xu. X. (2012, December). Colorimetric and Fluorescence Turn-on Sensor for Biologically Important Anions Based on Carbazole Derivative. *Inorganic Chemistry Communications*. 16: 37-42.
- [22] Sanchez, G., Curiel, D., Tarraga, A.; and Molina, P. (2014, July). Anion Binding Studies on Receptors Derived from the Indolo[2,3-*a*]carbazole Scaffold Having Different Binding Cavity Sizes. *Sensors*. 14: 14038-14049.
- [23] Britovsek, G. J. P., Gibson, V. C., Hoarau, O. D., Spitzmesser, S. K., White, A. J. P.; and Williams, D. J. (2003, May). Iron and Cobalt Ethylene Polymerization Catalysts: Variations on the Central Donor. *Inorganic Chemistry*. 42(11): 3454-3465.
- [24] Hameurlaine, A.; and Dehaen, W. (2003, January). Synthesis of Soluble Oligocarbazole Derivatives. *Tetrahedron Letters*. 44(5): 957-959.
- [25] Blouin, N.; and Leclerc, M. (2008, September). Poly (2,7-carbazole) s: Structure-Property Relationships. *Accounts of Chemical Research*. 41(9): 1110-1119.
- [26] Mukthung, C., Woski, S. P.; and Wichai, U. (2007, October). *Nitrocarbazole: Novel Universal Base for Biomolecular*. 33rd Congress on Science and Technology of Thailand (pp. ORC-OR-023). Nakhon Si Thammarat: Walailak University.
- [27] Shufen, Z., Danhong, Z.; and Jinzong, Y. (1995). Nitration of Carbazole and *N*-Alkylcarbazoles. *Dyes and Pigments*. 27(4): 287-296.
- [28] Nagarajan, R., Muralidharan, D.; and Perumal, P. T. (2004, August). A New and Facile Method for the Synthesis of Nitrocarbazole by Urea Nitrate. *Synthetic Communications*. 34(7): 1259-1264.

- [29] Mudadu, M. S., Singh, A. N.; and Thummel, R. P. (2008, August). Preparation and Study of 1,8-Di(pyrid-2'-yl)carbazoles. *Journal of Organic Chemistry*. 73: 6513-6520.
- [30] Pielichowski, J.; and Puszynski. A. (1974, July). Eine neue Methode zur Nitrierung des Carbazols and Seiner Derivate. *Monatshefte fur Chemie/Chemical Monthly*. 105(4):
- [31] Kigga, M.; and Trivedi, D. R. (2014, January). Naked-eye Detection of Inorganic Fluoride Ion in Aqueous Media Using Base Labile Proton: A Different Approach. *Journal of Fluorine Chemistry*. 160: 1-7.
- [32] Mukherjee, S., Paul, A. K.; and Stoeckli-Evans, H. (2014, June). A Family of Highly Selective Fluorescent Sensors for Fluoride Based on Excited State Proton Transfer Mechanism. *Sensors and Actuators B: Chemical*. 201: 1190-1199.
- [33] Boiocchi, M., Boca, L. D., Gomez, D. E., Fabbrizzi, L., Licchelli, M.; and Monzani, E. (2004, July). Nature of Urea-Fluoride Interaction: Incipient and Definitive Proton Transfer. *Journal of the American Chemical Society*. 126: 16507-16514.
- [34] Wu, J., Lai, G., Li, Z., Lu, Y., Leng, T., Shen, Y.; and Wang, C. (2016, September). Novel 2,1,3-benzothiadiazole Derivatives Used as Selective Fluorescent and Colorimetric Sensors for Fluoride Ion. *Dyes and Pigments*. 124: 268-276.
- [35] pK_b value of anion. (2560). สืบค้นเมื่อ 2 กุมภาพันธ์ 2560, จาก www.chem.wisc.edu/areas/reocj/pKatable/index.htm
- [36] Mahapatra, A. K., Sahoo, P.; and Hazra, G. (2010, February). Synthesis of Indolo[3,2-b]carbazole-Based New Colorimetric Receptor for Anions: A Unique Color Change for Fluoride Ions. *Beilstein Journal of Organic Chemistry*. 6(12): 1-8.